

東北大学 正員〇植浦 大三  
東北大学 準員原 公

## 1. 緒言

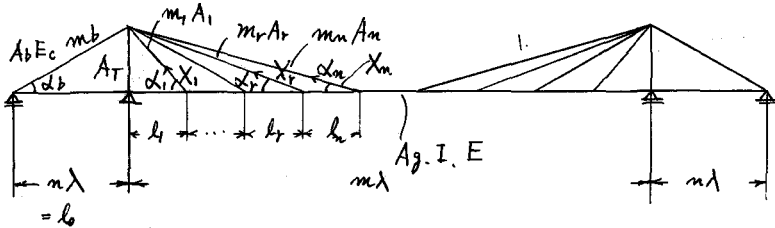
斜鋼索橋は最近ドイツに於て提案をみる橋りょうの一型式である。スエーデンに1橋完成、ライニ河に2橋工事中の模様である。“複雑なる構造から簡素な構造へ”は現代人の欲求と認められる。橋りょうの型式も其の例にもれず、プレートガーダー構造の簡単なもののが断然多い。之の意味に於て斜鋼索橋は現代の要求と一致する一橋りょう型式と云ふ得よう。

斜鋼索橋には各種の様式があるが、茲では3空間連續ゲタの橋脚上に下端ヒンギの塔を立て、側空間には鋼索1本をケタ端に結び、中央空間には左右対称に数本の鋼索をケタに結びつけ、塔上では鋼索と塔を固定し正構造のものについて考へる。

構造力学の上からみれば3空間連續ゲタを中央空間数ヶ所に於て彈性的に支持したケタの一種と考へる事が出来る。高次の不静定構造物である。

## 2. 解法

各種の考へ方があるが茲では不静定力を中央空間に結びつけた鋼索の応力とガーダーのピアーモーメントに立ち入る。但し3空間連續ゲタを別に解いて置き、之れを主系と考へると不静定力は鋼索の応力のみとなる。次の図を参照して鋼索とケタと結びつけた奥の沈下は

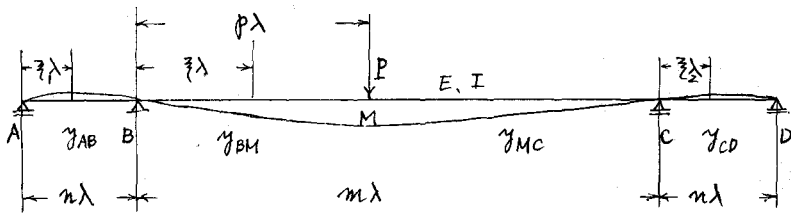


$$\begin{aligned}
 Y_r &= \frac{X_1 \cot d_r}{EA_g} \left\{ \frac{t_1}{\tan d_r} + d_r \cot d_r + t_r \cot d_r \right\} + \frac{X_2 \cot d_r}{EA_g} \left\{ \frac{t_2}{\tan d_r} + d_r \cot d_r + \left( \sum_{i=1}^{r-1} k_p \right) \cot d_r \right\} \dots \\
 &+ \frac{X_{r-1} \cot d_r}{EA_g} \left\{ \frac{t_{r-1}}{\tan d_r} + d_{r-1} \cot d_r + \left( \sum_{i=1}^{r-1} k_p \right) \cot d_r \right\} + \frac{X_r \cot d_r}{EA_g} \left\{ \frac{t_r}{\tan d_r} + d_r \cot d_r + \left( \sum_{i=1}^r k_p \right) \cot d_r \right\} \\
 &+ \frac{X_{r+1} \cot d_r}{EA_g} \left\{ \frac{t_{r+1}}{\tan d_r} + d_{r+1} \cot d_r + \left( \sum_{i=1}^r k_p \right) \cot d_r \right\} \dots + \frac{X_n \cot d_r}{EA_g} \left\{ \frac{t_n}{\tan d_r} + d_n \cot d_r + \left( \sum_{i=1}^n k_p \right) \cot d_r \right\}
 \end{aligned}$$

$$\text{但し } t_r = h \left( \frac{A_g}{A_T} \right) \tan d_r (\tan d_r + \tan d_b), \quad d_r = b + h_0 + t_r, \quad b = \left( \frac{E}{E_c} \right) \left( \frac{A_g}{A_b} \right) \frac{m_b}{\cot d_b}$$

$$k_r = \left( \frac{E}{E_c} \right) \left( \frac{A_g}{A_{c,r}} \right) \frac{m_r}{\cot d_r \sin d_r} \quad \text{を表す}$$

地方主系が單一集中荷重Pを受ける場合のタウミを求めるよ。



$$\gamma_{AB} = -\frac{P\lambda^3}{6EI'm} \left\{ \frac{3P(m-P)m}{2(2m+3m)n} + \frac{P(m-P)(m-2P)}{2(2n+m)n} \right\} \times (m^2\bar{\zeta}_1 - \bar{\zeta}_1^3)$$

$$\gamma_{BM} = -\frac{P\lambda^3}{6EI'm} \left\{ (m-P)\bar{\zeta}_1^2 (2mP - P^2 \bar{\zeta}_1^2) - \frac{9P(m-P)m^2}{2m(2m+3m)} \bar{\zeta}_1(m-\bar{\zeta}_1) - \frac{P(m-P)(m-2P)}{2m(2n+m)} \bar{\zeta}_1(m^2-3m\bar{\zeta}_1^2 + 2\bar{\zeta}_1^3) \right\}$$

$$\gamma_{MC} = -\frac{P\lambda^3}{6EI'm} \left\{ P(m-\bar{\zeta}_1)(2m\bar{\zeta}_1 - \bar{\zeta}_1^2 - P^2) - \frac{9P(m-P)m^2}{2m(2m+3m)} \bar{\zeta}_1(m-\bar{\zeta}_1) - \frac{P(m-P)(m-2P)}{2m(2n+m)} \bar{\zeta}_1(m^2-3m\bar{\zeta}_1^2 + 2\bar{\zeta}_1^3) \right\}$$

$$\gamma_{CD} = -\frac{P\lambda^3}{6EI'm} \left\{ \frac{3P(m-P)m}{2(2m+3m)n} - \frac{P(m-P)(m-2P)}{2(2n+m)} \right\} \times (2m^2\bar{\zeta}_2 - 3m\bar{\zeta}_2^2 + \bar{\zeta}_2^3)$$

これよりPとλとが作用する場合、区の作用点のタウミは簡単には求めることは出來る。以上求めたタウミを等しいと置くと1個の條件式が得られる。これを各鋼索の結合点に求めると不確定力区の数に等しいだけの方程式が得られるから、正を求める事が出来た。

不確定力の数が余り多くなると実用的とは認めがたい。中央空間にある鋼索の数は2本、4本、6本程度である。

1.2の計算例につれての結果を述べるつもりである。